

สายอากาศโนโนโพลรูปสี่เหลี่ยมนวนระนาบสร้างเจ้าที่มีช่องว่างไม่สมมาตรและสัด比โอลด์แบบขั้น สำหรับย่านความถี่แอนกิวาร์ชั่ง

CPW Fed Square Printed Monopole Antenna

With Stub Load Step Shape and Asymmetrical Gap for UWB Application

บริษัทชั้นนำ¹ อภิรดา นามแสง² และ อรุณวิช เรืองวารี²

ภาควิชาวิศวกรรมไฟฟ้า คณะวิศวกรรมศาสตร์ มหาวิทยาลัยเทคโนโลยีราชมงคลรัตนบุรี

ดร.รังสิต-นครนายก ต.คลองหอก อ.รัษฎา จังหวัดปทุมธานี 12110 โทรศัพท์: 02-575-4968 E-Mail: khunpawee@hotmail.com

² ภาควิชาวิศวกรรมอิเล็กทรอนิกส์และโทรคมนาคม คณะวิศวกรรมศาสตร์ มหาวิทยาลัยเทคโนโลยีราชมงคลรัตนบุรี ดร.รังสิต-นครนายก

ต.คลองหอก อ.รัษฎา จังหวัดปทุมธานี 12110 โทรศัพท์: 02-549-4623 apirada@rmutt.ac.th amnoiy.r@en.rmutt.ac.th

CM019

บทคัดย่อ

งานวิจัยนี้ได้นำเสนอสายอากาศโนโนโพลที่มีการป้อนสัญญาณวนรูปสี่เหลี่ยมสำหรับประยุกต์ใช้งานย่านความถี่แบบขั้น กว้างขึ้นชุด การพัฒนาและออกแบบใช้เทคนิคการปรับแต่งระนาบสร้าง เก้าอี้สัด比โอลด์รูปขั้นบันไดและช่องว่างระหว่างสายนำสัญญาณแบบ ระนาบสร้างเจ้าที่ไม่สมมาตร เพื่อให้สายอากาศมีประสิทธิภาพสูงสุด ทำการจำลองแบบโครงสร้างสายอากาศด้วยโปรแกรม CST และวัดค่า สัญญาณเสียงจากการสะท้อนกลับของสัญญาณ (S_{11}) จะได้ความถี่ ครอบคลุมตั้งแต่ 3.03-13.83 GHz ความกว้างแผลความถี่ของสายอากาศ ที่ได้สามารถรองรับการประยุกต์ใช้งานตามมาตรฐาน IEEE.802.15.3a

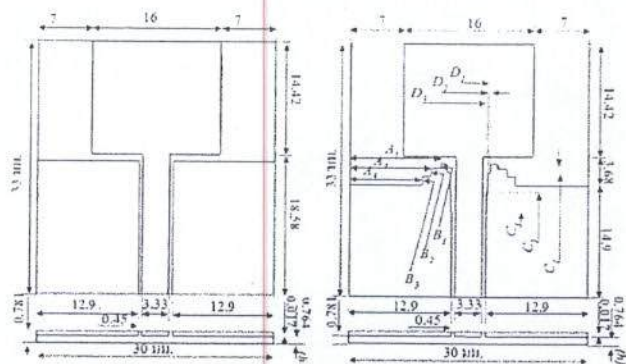
ข้อมูล ผู้นั้นการสื่อสารแบบแผลความถี่กว้างขึ้นชุด (UWB) จึงถูก นำมาใช้เพื่อลดปัญหาที่เกิดขึ้น สายอากาศเป็นปัจจัยหนึ่งที่มีความสำคัญ ในการสื่อสารแบบไร้สายในย่านความถี่นี้ จากการศึกษางานวิจัยในอดีต จนถึงปัจจุบัน [1-5] พนว่าสายอากาศ [1-2] ยังมีขนาดใหญ่ รูปแบบของ สายอากาศซับซ้อนและมีค่าเบนเดลิวิคท์กว้างไม่มาก

จากปัญหาดังกล่าว ผู้วิจัยจึงได้ทำการออกแบบ และพัฒนา สายอากาศให้มีขนาดเล็กและมีรูปแบบที่ไม่ซับซ้อน ในการจำลองแบบ ใช้โปรแกรม CST เพื่อวิเคราะห์ผล และปรับแต่ง [3-4] จนได้สายอากาศที่ ครอบคลุมย่านความถี่กว้างขึ้นชุดตามมาตรฐาน IEEE 802.15.3a [5]

2. การออกแบบและผลการจำลองแบบสายอากาศ

2.1 โครงสร้างสายอากาศ

งานวิจัยนี้จึงได้ออกแบบและพัฒนาสายอากาศโนโนโพลแบบ วนรูปสี่เหลี่ยมให้ขนาดเล็กและมีรูปทรงไม่ซับซ้อน วัสดุฐานรองของ สายอากาศด้านบนเป็นแผ่นพิมพ์พลาสติก FR4 ความหนาของวัสดุฐานรอง (h) = 0.764 มม. ค่าคงตัวไดอิเล็กทริก (ϵ_r) = 4.3 ความยาวคืนสัมพัทธ์ ในวัสดุฐานรอง (λ_g) ที่ความถี่เรโซแนนซ์ มีค่า 22.24 มม. รูปแบบและ ขนาดของสายอากาศที่นี้ฐานรูปสี่เหลี่ยม ดังในรูปที่ 1



คำสำคัญ: สายอากาศ, ความถี่แอนกิวาร์ชั่ง, ช่องว่าง

Abstract

This paper is presented a square shaped coplanar monopole antenna for ultra-wideband. The development and design techniques are stub load step-shape and asymmetrical gap. For the maximum efficiency, the simulation of antenna structure is resulted by Computer Simulation Technology (CST) program and the measured return loss (S_{11}) is covered 3.03 – 13.81 GHz. The bandwidth of prototype antenna is supported the application in IEEE802.15.3a standard.

Keywords: Stub Load, Ultra Wideband, Gap

1. บทนำ

การสื่อสารไร้สายที่ผ่านมา มีการพัฒนารูปแบบการรับ-ส่ง ความถี่หลายรูปแบบ เช่น การสื่อสารแบบย่านความถี่เดียว, การสื่อสาร ย่านความถี่คู่ (Dual-band) และการสื่อสารสามย่านความถี่ (Tri-band) ในการสื่อสารที่กล่าวมานี้ มีข้อจำกัดของปริมาณและความเร็วในการรับ-ส่ง

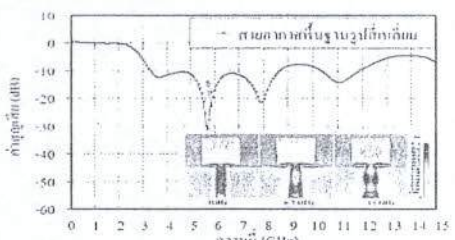
จากการจำลองแบบสามายอากาศด้วยโปรแกรม CST (Computer Simulation Technique) จะทำให้ได้โครงสร้างสามายอากาศด้านบน และในรูปที่ 2 มีค่าพารามิเตอร์จากการปรับแต่งด้วยวิธีสตั๊บโลดแบบขั้นดังแสดงในตารางที่ 1

ตารางที่ 1 ค่าพารามิเตอร์ต่างๆ ของสามายอากาศด้านบน

ขนาดความยาว		ขนาดความกว้าง	
ด้วยเปร	ขนาด (มม.)	ด้วยเปร	ขนาด (มม.)
A_1	11.5	B_1	0.6
A_2	10.2	B_2	1
A_3	9.2	B_3	1.1
C_1	0.6	D_1	1.1
C_2	0.2	D_2	2.5
C_3	0.1	D_3	2.5

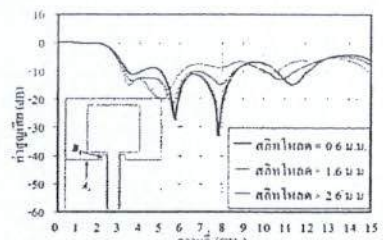
2.2 ผลการจำลองแบบของสามายอากาศ

ผลการจำลองแบบสามายอากาศด้านบนในรูปที่ 1 ด้วยโปรแกรม CST เพื่อศึกษาผลตอบสนองความถี่ 3, 6.5, 11 GHz จะได้ผลกระสะพันคิริระนาบและค่าสูญเสียเนื่องจากการสะท้อนกลับ (S_{11}) ดังรูปที่ 3



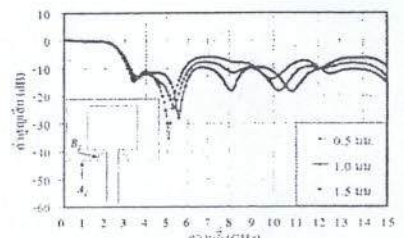
รูปที่ 3 กระสะพันคิริระนาบ และค่าสูญเสียเนื่องจากการสะท้อนกลับของสามายอากาศของสามายอากาศด้านบน

จากรูปที่ 3 พบว่าสามารถกระสะพันคิริระนาบที่รัฐบาลท่อน้ำสัญญาณทำให้การไหลของกระแสที่ผ่านไปได้น้อย จากการจำลองแบบพบว่าค่าสูญเสียสะท้อนกลับมีค่าต่ำกว่า -10 dB มี 2 ช่วงความถี่ คือ 3.3 – 8.8 GHz และ 10.45–11.85 GHz จึงทำการทดลองปรับค่าพารามิเตอร์ของสามายอากาศดังรูปที่ 2 ด้วยวิธีสตั๊บโลดแบบขั้นที่ 2 ที่จุด A_1 และ B_1 โดยกำหนดให้ขนาดความยาวของ $A_1 = 0.51$, $\lambda_g = 11.5$ มม. และทำการทดลองปรับขนาดกว้าง B_1 มีค่าเท่ากับ 0.1, 0.6, 1.6 มม. ตามลำดับดังแสดงในรูปที่ 4



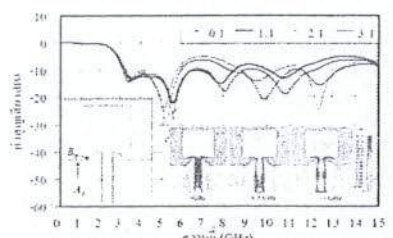
รูปที่ 4 ค่าสูญเสียสะท้อนกลับที่ได้จากการปรับค่า B_1

จากรูปที่ 4 พบว่าเมื่อทำการปรับขนาด $B_1 = 0.6$ มม. จะทำให้ได้ค่าแบบคิวติที่ดีขึ้น คือจะทำให้ที่ช่วงความถี่ 3.3 – 4 GHz, 5.1 – 8.5 GHz และ 10.5 – 12.2 GHz มีค่าสูญเสียต่ำกว่า -10 dB ในทางกลับกันเมื่อ $B_1 = 1.6$ มม. จะทำให้ค่าสูญเสียสะท้อนกลับมีแนวโน้มลดลง จึงทำการปรับแต่งด้วยสตั๊บโลดแบบขั้นที่ 2 ที่รัฐบาลสร้างเจ้าโดยให้ $A_2 = 10.2$ มม. ประมาณ 0.45λg และให้ B_2 มีขนาดเท่ากับ 0.5, 1 และ 1.5 มม. ตามลำดับดังแสดงในรูปที่ 5



รูปที่ 5 ค่าสูญเสียสะท้อนกลับที่ได้จากการปรับค่า B_2

จากรูปที่ 5 พบว่าเมื่อทำการปรับขนาด $B_2 = 1$ มม. จะทำให้ได้ค่าแบบคิวติที่ช่วงความถี่ 3.3 – 12.2 GHz มีค่าสูญเสียต่ำกว่า -10 dB เมื่อ $B_2 = 1.5$ มม. จะทำให้ค่าสูญเสียสะท้อนกลับลดลง จึงทำการเพิ่ม สตั๊บโลดแบบขั้นที่ 3 ที่ขอบรัฐบาลที่ A_3 และ B_3 โดยให้ $A_3 = 9.2$ มม. ประมาณ 0.41λg และให้ B_3 มีขนาดเท่ากับ 0.1, 1.1, 2.1 และ 3.1 มม. ตามลำดับดังแสดงในรูปที่ 6



รูปที่ 6 ค่าสูญเสียสะท้อนกลับที่ได้จากการปรับค่า B_3

จากรูปที่ 6 พบว่ารูปแบบภายในหลังจากเพิ่มสตั๊บโลดแบบขั้นที่ 3 จะทำให้ได้สตั๊บโลดครุ่นขึ้นบันได และผลจากการปรับขนาด $B_3 = 1.1$ มม. จะทำให้ได้ค่าแบบคิวติที่ช่วงความถี่ 3.15 – 8.4 GHz และ 10 – 11.45 GHz มีค่าสูญเสียต่ำกว่า -10 dB จากการจำลองแบบสามารถพิจารณาค่าที่ดีที่สุดของกระแสที่รัฐบาลท่อน้ำสัญญาณ จึงทำการลดความหนาแน่นของสามายอากาศที่คิริระนาบท่อน้ำสัญญาณ จึงทำการลดความหนาแน่นของสามายอากาศที่คิริระนาบท่อน้ำสัญญาณ เป็นแบบขั้นไม่สมมาตรที่เรียกว่า รัฐบาลสร้างเจ้า ก็ได้กับรัฐบาลท่อน้ำสัญญาณ ซึ่งกำหนดให้ $C_1 = 0.6$ มม. และให้ D_1 มีขนาดเท่ากับ 0.6, 1.1 และ 1.6 มม. ดังแสดงในรูปที่ 7

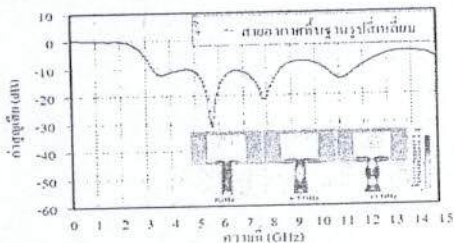
จากการจำลองแบบสายอากาศด้วยโปรแกรม CST (Computer Simulation Technique) จะทำให้ได้โครงสร้างสายอากาศด้านบน แสดงในรูปที่ 2 มีค่าพารามิเตอร์จากการปรับแต่งด้วยวิธีสตันโลดแบบขั้นต่อไปในตารางที่ 1

ตารางที่ 1 ค่าพารามิเตอร์ต่างๆ ของสายอากาศด้านบน

ขนาดความยาว	ขนาดความกว้าง		
ด้านเปรี้ยว	ขนาด (มม.)	ด้านกว้าง	ขนาด (มม.)
A_1	11.5	B_1	0.6
A_2	10.2	B_2	1
A_3	9.2	B_3	1.1
C_1	0.6	D_1	1.1
C_2	0.2	D_2	2.5
C_3	0.1	D_3	2.5

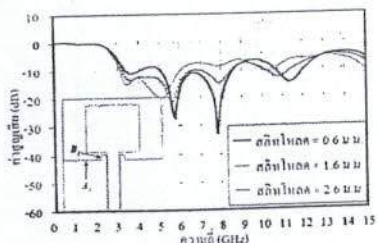
2.2 ผลการจำลองแบบของสายอากาศ

ผลการจำลองแบบสายอากาศด้านบนในรูปที่ 1 ด้วยโปรแกรม CST เพื่อศึกษาผลตอบสนองความถี่ 3, 6.5, 11 GHz จะได้ผลกราฟแสดงพื้นผิวรวมและค่าสัญเสียงเมื่อจากการสะท้อนกลับ (S_{11}) ดังรูปที่ 3



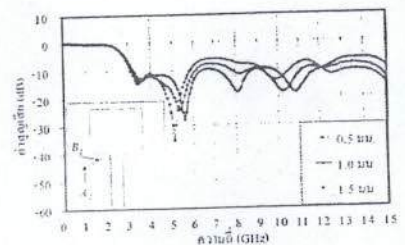
รูปที่ 3 กระแสสั่นพื้นผิวรวม และค่าสัญเสียงเมื่อจากการสะท้อนกลับ ของสายอากาศของสายอากาศด้านบน

จากรูปที่ 3 พบว่าส่วนของกระแสสั่นที่รีบวนท่อนำสัญญาณทำให้การไหลของกระแสสั่นผิวต่อไปได้น้อย จากการจำลองพบว่าค่าสัญเสียงที่สะท้อนกลับมีค่าต่ำกว่า -10 dB มี 2 ช่วงความถี่ คือ 3.3 – 8.8 GHz และ 10.45 – 11.85 GHz จึงทำการทดลองปรับค่าพารามิเตอร์ของสายอากาศดังรูปที่ 2 ด้วยวิธีสตันโลดแบบขั้นต่อไปนี้ ที่จุด A_1 และ B_1 โดยกำหนดให้ขนาดความยาวของ $A_1 = 0.51$, $\lambda_g = 11.5$ มม. และทำการทดลองปรับขนาด B_1 ให้มีค่าเท่ากับ 0.1, 0.6, 1.6 มม. ตามลำดับดังแสดงในรูปที่ 4



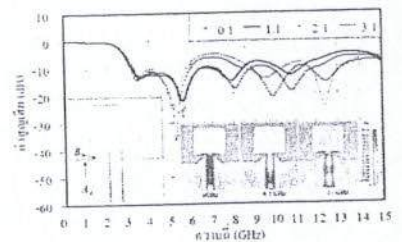
รูปที่ 4 ค่าสัญเสียงที่สะท้อนกลับที่ได้จากการปรับค่า B_1

จากรูปที่ 4 พบว่าเมื่อทำการปรับขนาด $B_1 = 0.6$ มม. จะทำให้ได้ค่าแบบคิวต์ที่ดีขึ้น คือจะทำให้ที่ช่วงความถี่ 3.3 – 4 GHz, 5.1 – 8.5 GHz และ 10.5 – 12.2 GHz มีค่าสัญเสียงต่ำกว่า -10 dB ในทางกลับกันเมื่อ $B_1 = 1.6$ มม. จะทำให้ค่าสัญเสียงที่สะท้อนกลับมีแนวโน้มลดลง จึงทำการปรับแต่งด้วยสตันโลดแบบขั้นต่อไปที่ 2 ที่รีบวนสร้างเจ้าโดยใช้ A_2 , 10.2 มม. ประมาณ 0.45 λ_g และให้ B_2 มีขนาดเท่ากับ 0.5, 1 และ 1.5 มม. ตามลำดับ ดังแสดงในรูปที่ 5



รูปที่ 5 ค่าสัญเสียงที่สะท้อนกลับที่ได้จากการปรับค่า B_2

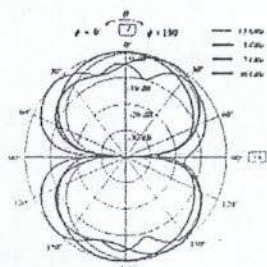
จากรูปที่ 5 พบว่าเมื่อทำการปรับขนาด $B_2 = 1$ มม. จะทำให้ได้แบบคิวต์ที่ช่วงความถี่ 3.3 – 12.2 GHz มีค่าสัญเสียงต่ำกว่า -10 dB แต่เมื่อ $B_2 = 1.5$ มม. จะทำให้ค่าสัญเสียงที่สะท้อนกลับลดลง จึงทำการเพิ่ม สำหรับโลดแบบขั้นต่อไปที่ 3 ที่รีบวน gravitational ที่ A_3 และ B_3 โดยใช้ $A_3 = 9$ มม. ประมาณ 0.41 λ_g และให้ B_3 มีขนาดเท่ากับ 0.1, 1.1, 2.1 และ 3 มม. ตามลำดับดังแสดงในรูปที่ 6



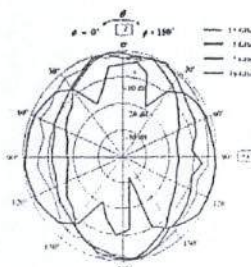
รูปที่ 6 ค่าสัญเสียงที่สะท้อนกลับที่ได้จากการปรับค่า B_3

จากรูปที่ 6 พบว่ารูปแบบภายหลังจากเพิ่มสตันโลดแบบขั้นต่อไปที่ 3 จะทำให้ได้สตันโลดครุบขึ้นบ้างได้ และผลจากการปรับขนาด $B_3 = 1.1$ มม. จะทำให้ค่าแบบคิวต์ที่ช่วงความถี่ 3.15 – 8.4 GHz และ 11.15 – 11.45 GHz มีค่าสัญเสียงต่ำกว่า -10 dB จากการจำลองแบบส่วนกระแสสั่นพื้นผิวจากทำสตัน A_3 และ B_3 พบว่าที่ช่วงความถี่ 3 GHz ความต่ำที่สุดของกระแสสั่นที่รีบวนท่อนำสัญญาณ จึงทำการลดขนาดหนาแน่นของส่วนกระแสสั่นที่ต่ำที่สุด โดยปรับช่องห่าง (Gap) ระหว่างรีบวนสร้างเจ้ากับรีบวนท่อนำสัญญาณ เป็นแบบขั้นไม่สมมาตรที่รีบวนสร้างเจ้า ก็แล้วกับรีบวนท่อนำสัญญาณ ซึ่งกำหนดให้ C_1 0.6 มม. และให้ D_1 มีขนาดเท่ากับ 0.6, 1.1 และ 1.6 มม. ดังแสดงในรูปที่ 7

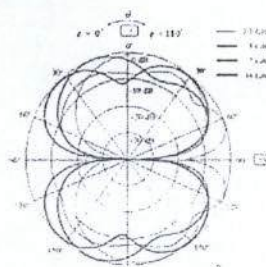
(Radiation Pattern) ของสายอากาศจะได้ ดังรูปที่ 13 – 14 ซึ่งพบว่า สายอากาศมีการแผ่พลังงานแบบรอบทิศทาง (Omni Directional)



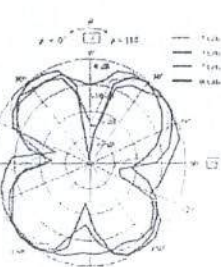
รูปที่ 13 แบบรูปการแผ่พลังงานที่ความถี่ 3.5, 5.2, 7 และ 10 GHz
จาก การ จำลองแบบ



รูปที่ 13 แบบรูปการแผ่พลังงานที่ความถี่ 3.5, 5.2, 7 และ 10 GHz
จากการ วัดค่าในท่อปั๊บติดการ



รูปที่ 14 แบบรูปการแผ่พลังงานที่ความถี่ 3.5, 5.2, 7 และ 10 GHz
จากการ จำลองแบบ



รูปที่ 14 แบบรูปการแผ่พลังงานที่ความถี่ 3.5, 5.2, 7 และ 10 GHz
จากการ วัดค่าในท่อปั๊บติดการ

4. สรุป

ในบทความนี้ได้นำเสนอสายอากาศโนโนโลห์แบบระนาบรูป ผ่านเกลี่ยมครอบคลุมด้านความถี่กว้างขึ้นชัด โดยทำการปรับแต่งค่าบริสุทธิ์ให้ดีขึ้นบันทึก จนกระทั่งสายอากาศด้านแบบที่มีค่าอัตราขยาย เคลื่อนเท้ากัน 3.04 dB และมีค่า VSWR น้อยกว่า 2 รองรับการประยุกต์ใช้ งานตามมาตรฐาน IEEE802.15.3a และเมื่อเปรียบเทียบกับงานวิจัย ด้านแบบมีเปลือกชั้นเดียวความถี่กว้างกว่า 96.36 %

5. กิตติกรรมประภาก

ขอขอบคุณมหาวิทยาลัยเทคโนโลยีราชมงคลล้านนา คณะครุศาสตร์ อุดสาหกรรมที่ให้ความอนุเคราะห์ใช้โปรแกรม CST

เอกสารอ้างอิง

- [1] Hou ZHANG , Guiyuan LI, Jian WANG, Xiong YIN, "A Novel Coplanar CPW-Fed Square Printed Monopole Antenna for UWB Applications," ICMMT 2010.

[2] Chao Deng, Yong-jun Xie, and Ping Li "CPW-Fed Planar Printed Monopole Antenna with Impedance Bandwidth Enhanced" IEEE ANTENNAS AND WIRELESS PROPAGATION LETTERS VOL. 8, 2009

[3] Lina Moustafa and Bernard Jecko "Design of a Wideband High Directive EBG Antenna Using Double-Layer Frequency Selective Surfaces and Multifeed Technique for Application in the K Band" IEEE ANTENNAS AND WIRELESS PROPAGATION LETTERS, VOL. 9, 2010

[4] M. A. Peyrot-Solis 1 , 2, G.M. Galvan-Tejada1, H. Jardon-Aguil "State of the Art in Ultra-Wideband Antennas" 2nd International Conference on Electrical and Electronics Engineering (ICEEE) XI Conference on Electrical Engineering (CIE 2005) Mexico City, Mexico. September 7-9, 2005

[5] "IEEE - FCC "FCC Report and Order for Part 15 Acceptance of Ultra Wideband (UWB) Systems" from 3.1-10.6 GHz Washington DC, 2002



นายปรีวิ ชัยบุญ ปัจจุบันกำลังศึกษาไป
ปริญญาโทหลักสูตรวิศวกรรมมหาบัณฑิต
วิศวกรรมศาสตร์ไฟฟ้า สาขาวิชาเล็กทรอนิกส์
โทรศัพท์ โทร. 081-622-5000 ไลน์รัวด์
ชัยบุญ งานวิจัยที่สนใจ UWB, Rectenna



ดร.อภิรดา นามแสง สำเร็จการศึกษา
ปริญญาเอก จากมหาวิทยาลัยเทคโนโลยี
เกี้ยวพระนครเหนือ ปี พ.ศ. 2553 ปัจจุบัน
ตำแหน่งอาจารย์ประจำ ภาควิชาวิศวะ
อิเล็กทรอนิกส์และ โทรคมนาคม
วิศวกรรมศาสตร์ มหาวิทยาลัยเทคโนโลยี
มงคลลักษณ์



ดร.阿农威特·赛翁威特，毕业于泰国皇家理工大学
电气工程系，博士学位。目前担任泰国皇家理工大学
电气工程系教授。研究兴趣包括宽频雷达系统、超快
脉冲发生器和天线设计。